

(275) $\text{CaO}-\text{Al}_2\text{O}_3-\text{CaS}$ 3成分系の液相線

名古屋大学大学院

○井上 茂

高木茂義

工学部

工博

鰐部吉基

工博

坂尾 弘

1. 緒言

Ca により溶鋼を脱硫する場合は、 Ca の脱酸力が強いので、あらかじめ Al で脱酸しておく必要がある。したがって、 Ca による硫化物系介在物の形態制御機構を知るためにには、基礎的なデータとして $\text{CaO}-\text{Al}_2\text{O}_3-\text{CaS}$ 3成分系の液相領域の知見を必要とする。今回は組成域をさらに広げ、前報¹⁾と同様に急冷法によって実験を行なった。

2. 実験方法

ほぼ前報¹⁾の通りである。ただ今回は試料の混合・粉碎による不純物の混入を避けるために、所定量の CaCO_3 と $\alpha\text{Al}_2\text{O}_3$ および CaS を混合し、精製 Ar 雰囲気中で 1300°C 、48時間の焼成を1回だけ行なって、固相内拡散による試料の均質化を図った。

3. 実験結果

Table 1に示すような組成において急冷実験を行なった。これらの組成は次のようなことを考慮して選択した。溶鋼の $\text{Al}-\text{Ca}$ 複合脱酸における坂尾²⁾の計算およびSaxena & Engh³⁾の実験によれば、高 Al 濃度の場合を除いて、脱酸生成物の平衡組成は $12\text{CaO}\cdot7\text{Al}_2\text{O}_3$ と $\text{CaO}\cdot\text{Al}_2\text{O}_3$ との間にになっている。そこで本研究においては、No. 8を除いて $12\text{CaO}\cdot7\text{Al}_2\text{O}_3$ と $\text{CaO}\cdot\text{Al}_2\text{O}_3$ の間にその組成を限定した。

Fig. 1はモル分率の比 $\text{N}_{\text{CaO}}/\text{N}_{\text{Al}_2\text{O}_3}$ をほぼ一定の $57/43$ とした条件の下で、 N_{CaS} を増加させた場合の液相線温度の変化を表わす。 CaS 濃度の増加とともに液相線温度は低下し、 $\text{N}_{\text{CaS}}=0.04$ 付近で谷をつくり、その後 $\text{N}_{\text{CaS}}=0.06$ 付近のピークを経て再び低下する。

また、 N_{CaS} を一定にした場合について見ると、液相線は $\text{CaO}-\text{Al}_2\text{O}_3$ 2成分系状態図⁴⁾におけるそれとほぼ並行していることがわかる。

Table 1 Molar fraction of the specimens used

No.	CaO	Al_2O_3	CaS
1	0.534	0.405	0.061
2	0.550	0.408	0.042
3	0.563	0.417	0.020
4	0.578	0.422	—
5	0.590	0.390	0.020
6	0.530	0.390	0.020
7	0.392	0.528	0.080
8	0.320	0.600	0.080
9	0.533	0.397	0.070
10	0.520	0.390	0.090
11	0.565	0.374	0.061
12	0.507	0.432	0.061

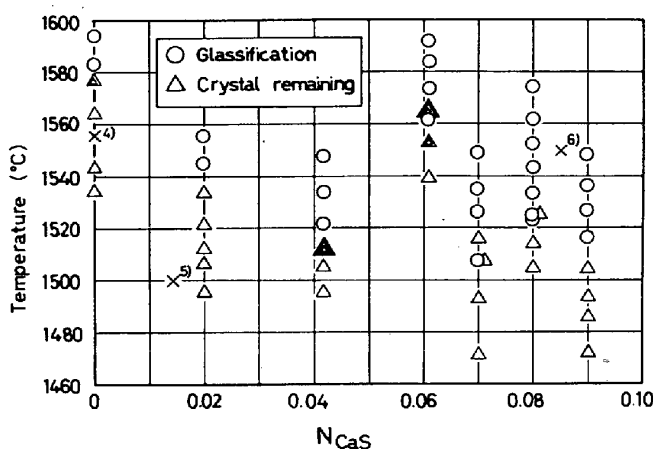


Fig.1 Effect of CaS content on liquidus temperature under a $\text{N}_{\text{CaO}}/\text{N}_{\text{Al}_2\text{O}_3}$ of $57/43$

1) 井上 藤澤 鰐部 坂尾： 鉄と鋼 68 (1982) 4 S285

2) 坂尾： 第54・55回西山記念技術講座（日本鉄鋼協会）(1978) p.3

3) S.K.Saxena and T.A.Engh : Scand.J.Met., 5(1976)p.105

4) R.W.Nurse, J.H.Welch and A.J.Majumdar : Trans.Brit.Ceram.Soc., 64 No.9(1965)p.409

5) R.A.Sharma and F.D.Richardson : JISI, 198(1961)p.386

6) J.Cameron, T.B.Gibbons and J.Taylor : JISI, 204(1966)p.1223